

Letzte Aktualisierung der Informationen: März 2025

Produktkonfiguration: QM09

QM09: Ø887mm - Warm White - Mikroprismenschirm - DALI



Produktcode

QM09: Ø887mm - Warm White - Mikroprismenschirm - DALI

Beschreibung

Rundleuchte für Deckeninstallation mit Installationsmöglichkeit auch als Einbau- und Hängeleuchte mittels separat zu bestellendem Zubehör. Up/Down-Beleuchtung, die zur Verwendung mit LED Warm White-Modulen 3000K vorgesehen ist. Das Leuchtengehäuse besteht aus einem weiß lackierten Aluminiumrahmen, einem Streuschirm aus satiniertem Methacrylat für Lichtemission UGR < 19 3000cd/qm sowie einer hinteren Verschlussplatte aus Blech. Der Driver befindet sich im oberen Teil des Produkts.

Installation

Plafondlampe Als Einbau- oder Hängeleuchte mit separat zu bestellendem Zubehör

Farben

Weiß (01) | Schwarz (04)

Gewicht (Kg)

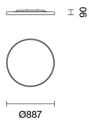
14.1

Montage

Wandanbauleuchte|Deckenanbauleuchte

Verkabelung

Die Leuchte wird komplett mit elektronischen Komponenten ausgeliefert. Die verwendeten Stromkabel sind aus halogenfreiem Material. (Kabel aus halogenfreiem Material, die im Brandfall keine giftigen und korrosiven Gase und nur geringe Mengen undurchsichtigen Rauchs emittieren).



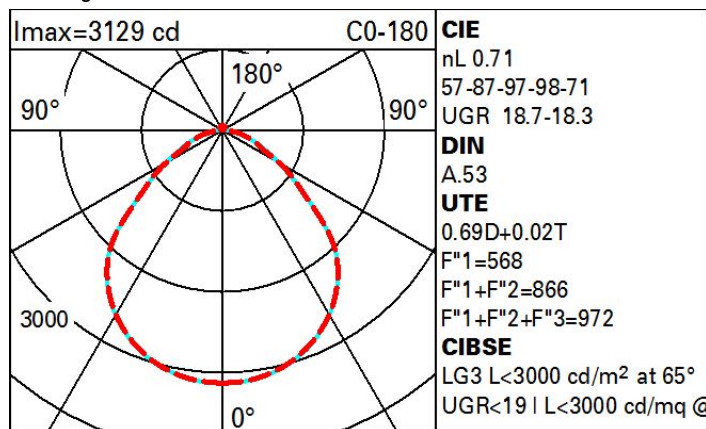
Gemäß der Normen EN60598-1 u. Sondernormen



Technische Daten

| | | | |
|---|-------|-----------------------------------|-------------------------------|
| Im System: | 7526 | Farbtemperatur [K]: | 3000 |
| W System: | 64.6 | MacAdam Step: | 3 |
| Im Lichtquelle: | 10600 | Lebensdauer LED 1: | 50,000h - L80 - B10 (Ta 25°C) |
| W Lichtquelle: | 59 | Lampencode: | LED |
| Lichtausbeute (lm/W, Systemwert): | 116.5 | Anzahl Lampen in Leuchtengehäuse: | 1 |
| Im im Notlichtbetrieb: | - | ZVEI-Code: | LED |
| abgegebener Lichtstrom bei/ über einem Winkel von 90° [lm]: | 172 | Anzahl Leuchtengehäuse: | 1 |
| Leuchtenbetriebswirkungsgrad 71 (L.O.R.) [%]: | | Control: | DALI-2 |
| CRI (minimum): | 90 | | |

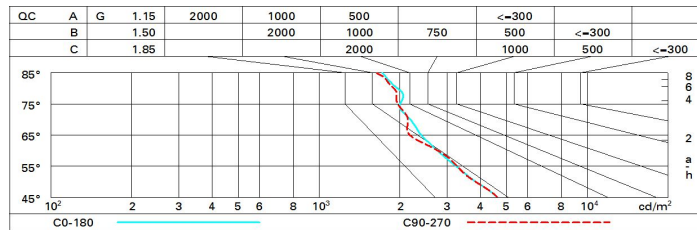
Polardiagramm



Wirkungsgrad

| R | 77 | 75 | 73 | 71 | 55 | 53 | 33 | 00 | DRR |
|------|----|----|----|----|----|----|----|----|-----|
| K0.8 | 49 | 42 | 38 | 34 | 41 | 37 | 36 | 32 | 46 |
| 1.0 | 54 | 48 | 43 | 40 | 46 | 42 | 42 | 37 | 54 |
| 1.5 | 61 | 56 | 52 | 49 | 54 | 51 | 50 | 46 | 66 |
| 2.0 | 65 | 61 | 57 | 55 | 59 | 56 | 55 | 51 | 74 |
| 2.5 | 67 | 64 | 61 | 59 | 62 | 60 | 59 | 55 | 79 |
| 3.0 | 69 | 66 | 63 | 61 | 64 | 62 | 61 | 57 | 82 |
| 4.0 | 70 | 68 | 66 | 64 | 66 | 65 | 63 | 60 | 86 |
| 5.0 | 72 | 70 | 68 | 67 | 68 | 66 | 65 | 62 | 89 |

Söllner-Diagramm



UGR-Diagramm

| Corrected UGR values (at 10600 lm bare lamp luminous flux) | | | | | | | | | | | |
|--|------|------------------|------|------|------|------|----------------|------|------|------|------|
| Reflect.: | | viewed crosswise | | | | | viewed endwise | | | | |
| ceiling/cav | | 0.70 | 0.70 | 0.50 | 0.50 | 0.30 | 0.70 | 0.70 | 0.50 | 0.50 | 0.30 |
| walls | | 0.50 | 0.30 | 0.50 | 0.30 | 0.30 | 0.50 | 0.30 | 0.50 | 0.30 | 0.30 |
| work pl. | | 0.20 | 0.20 | 0.20 | 0.20 | 0.20 | 0.20 | 0.20 | 0.20 | 0.20 | 0.20 |
| Room dim | | viewed crosswise | | | | | viewed endwise | | | | |
| x | y | | | | | | | | | | |
| 2H | 2H | 10.2 | 17.3 | 16.0 | 17.0 | 17.9 | 16.2 | 17.3 | 16.0 | 17.0 | 17.9 |
| | 3H | 17.1 | 18.0 | 17.4 | 18.3 | 18.7 | 16.5 | 17.5 | 16.9 | 17.8 | 18.1 |
| | 4H | 17.4 | 18.3 | 17.8 | 18.7 | 19.0 | 16.6 | 17.5 | 17.0 | 17.8 | 18.2 |
| | 6H | 17.8 | 18.6 | 18.2 | 18.9 | 19.3 | 16.6 | 17.4 | 17.0 | 17.8 | 18.2 |
| | 8H | 17.9 | 18.7 | 18.3 | 19.0 | 19.4 | 16.6 | 17.4 | 17.0 | 17.8 | 18.2 |
| 12H | 18.0 | 18.7 | 18.4 | 19.1 | 19.5 | 16.6 | 17.3 | 17.0 | 17.7 | 18.1 | |
| 4H | 2H | 16.0 | 17.5 | 17.0 | 17.8 | 18.2 | 17.4 | 18.3 | 17.8 | 18.0 | 19.0 |
| | 3H | 17.0 | 18.4 | 18.1 | 18.8 | 19.2 | 17.9 | 18.6 | 18.3 | 19.0 | 19.4 |
| | 4H | 18.1 | 18.7 | 18.5 | 19.2 | 19.6 | 18.1 | 18.7 | 18.5 | 19.2 | 19.6 |
| | 6H | 18.0 | 19.1 | 19.0 | 19.6 | 20.0 | 18.2 | 18.8 | 18.7 | 19.3 | 19.7 |
| | 8H | 18.7 | 19.3 | 19.2 | 19.7 | 20.2 | 18.3 | 18.8 | 18.8 | 19.3 | 19.8 |
| 12H | 18.9 | 19.3 | 19.3 | 19.8 | 20.3 | 18.3 | 18.8 | 18.8 | 19.2 | 19.7 | |
| 8H | 4H | 18.3 | 18.8 | 18.8 | 19.3 | 19.8 | 18.7 | 19.2 | 19.2 | 19.7 | 20.2 |
| | 6H | 18.9 | 19.3 | 19.4 | 19.8 | 20.3 | 19.0 | 19.4 | 19.5 | 19.9 | 20.4 |
| | 8H | 19.1 | 19.5 | 19.6 | 20.0 | 20.5 | 19.1 | 19.5 | 19.6 | 20.0 | 20.5 |
| | 12H | 19.3 | 19.6 | 19.8 | 20.2 | 20.7 | 19.2 | 19.5 | 19.7 | 20.0 | 20.6 |
| 12H | 4H | 18.3 | 18.8 | 18.8 | 19.2 | 19.7 | 18.8 | 19.3 | 19.3 | 19.8 | 20.3 |
| | 6H | 18.9 | 19.3 | 19.4 | 19.8 | 20.3 | 19.1 | 19.5 | 19.7 | 20.0 | 20.6 |
| | 8H | 19.2 | 19.5 | 19.7 | 20.0 | 20.6 | 19.3 | 19.6 | 19.8 | 20.1 | 20.7 |
| Variations with the observer position at spacing: | | | | | | | | | | | |
| S = | 1.0H | 0.3 / -0.2 | | | | | 0.3 / -0.3 | | | | |
| | 1.5H | 0.5 / -0.8 | | | | | 0.5 / -0.8 | | | | |
| | 2.0H | 1.0 / -1.1 | | | | | 1.0 / -1.1 | | | | |